

# Inteligência Artificial Aplicada à Previsão de Desastres

Dr. Elton Escobar - Cemaden

São Paulo, 25 de novembro de 2025



## Conheça o palestrante











#### Dr. Elton Escobar

#### Formação

- · Bel. em Ciências Ambientais UNIFESP
- · Me. em Ciências Ambientais UFSCar
- · Dr. em Sensoriamento Remoto INPE

#### Experiências Internacionais

- · Universität Hamburg Alemanha
- · USDA-ARS EUA

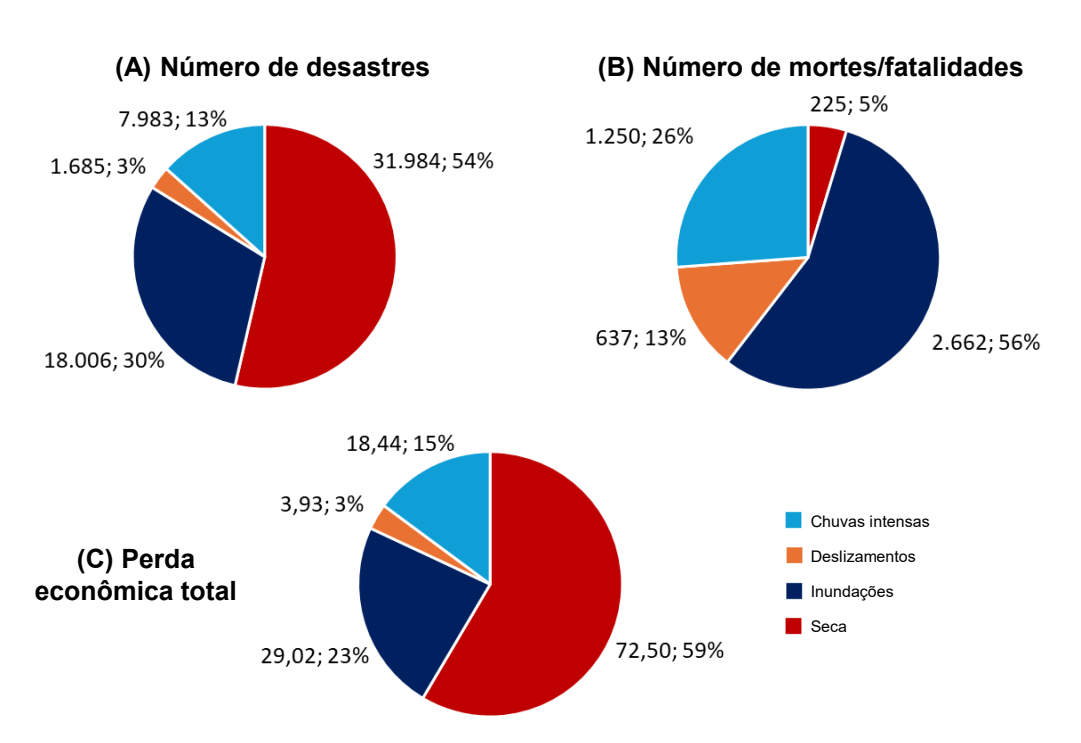
Atualmente realiza Pós-doutorado no Cemaden com financiamento FAPESP

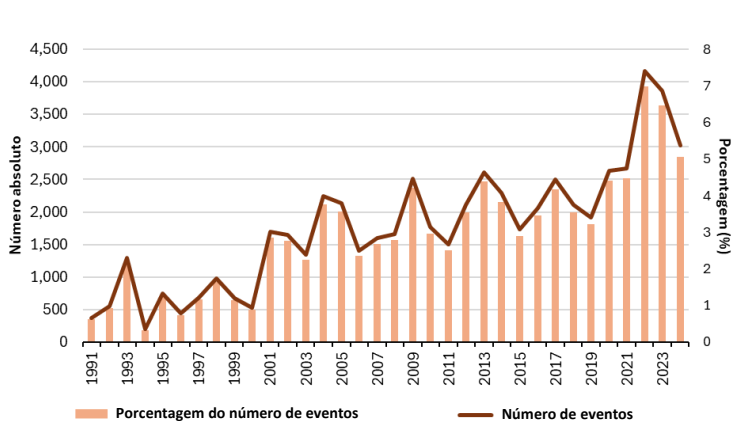


| 01 | Panorama Nacional – Desastres Socioambientais  |
|----|--|
| 02 | Uso de IA em Estudos de Suscetibilidade a<br>Deslizamentos de Terra                            |
| 03 | Sistema de Alerta Antecipado de Inundações –<br>Alagamentos Urbanos de Alta Resolução Espacial |

#### DESASTRES SOCIONATURAIS PANORAMA NACIONAL 1990 – 2024



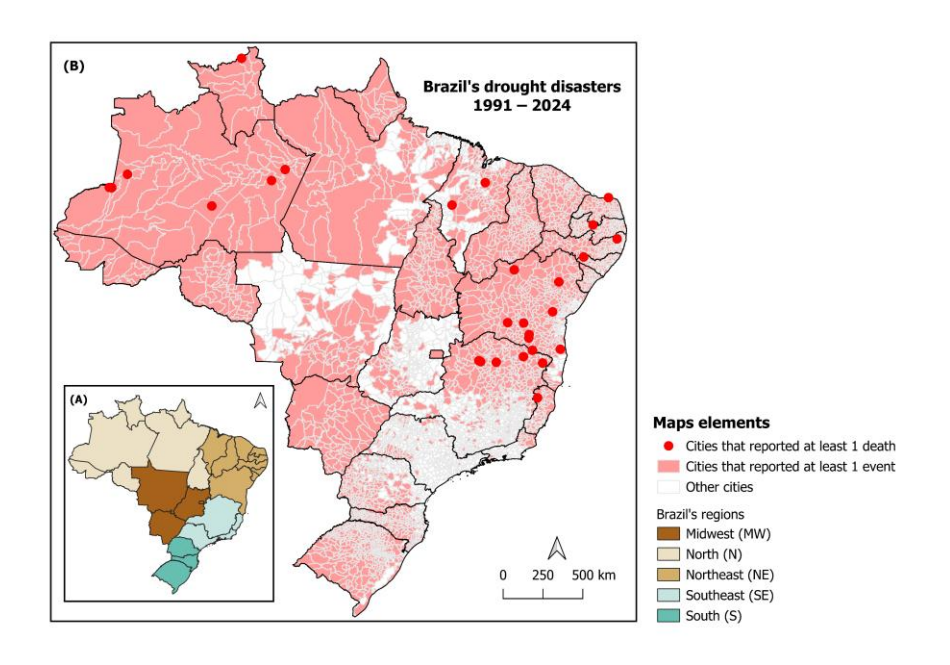


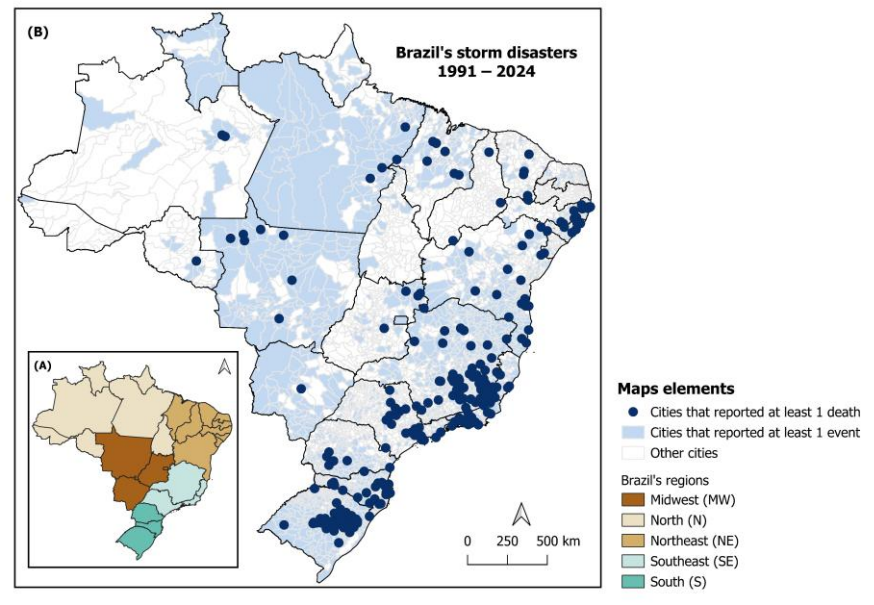


Escobar-Silva et al. (2026)

#### DESASTRES SOCIONATURAIS PANORAMA NACIONAL 1990 – 2024



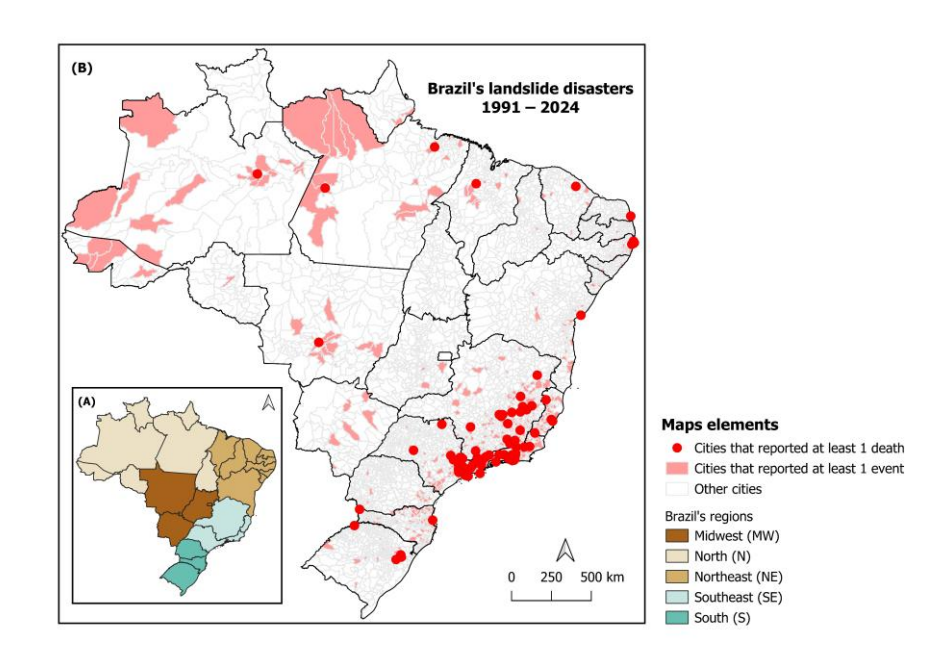


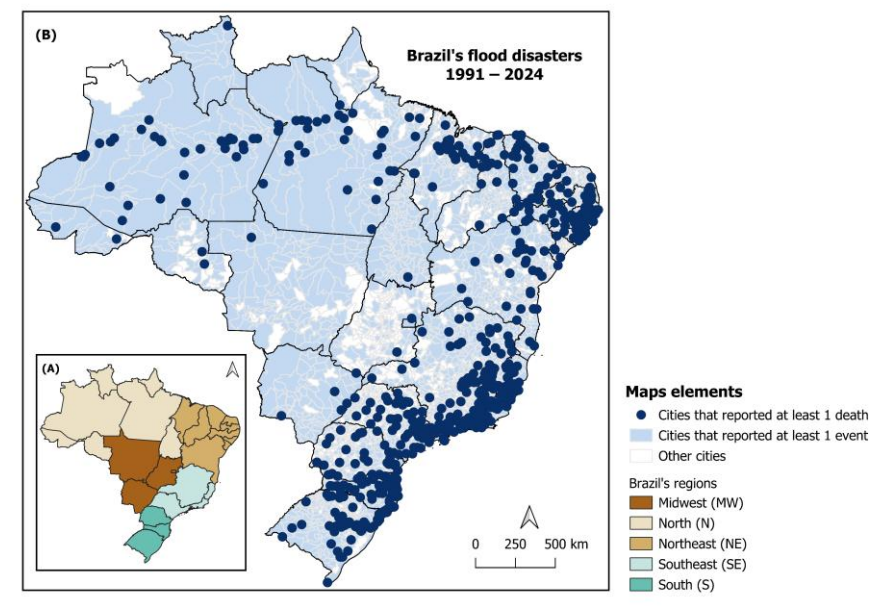


Escobar-Silva et al. (2026)

#### DESASTRES SOCIONATURAIS PANORAMA NACIONAL 1990 – 2024







Escobar-Silva et al. (2026)



# Uso de IA em Estudos de Suscetibilidade a Deslizamentos de Terra



## Deslizamentos em São Sebastião (SP)







19 de fevereiro de 2023



### Deslizamentos em São Sebastião (SP)



A cadeia de montanhas faz as nuvens da chuva subirem e se concentrarem no litoral



Baixa pressão

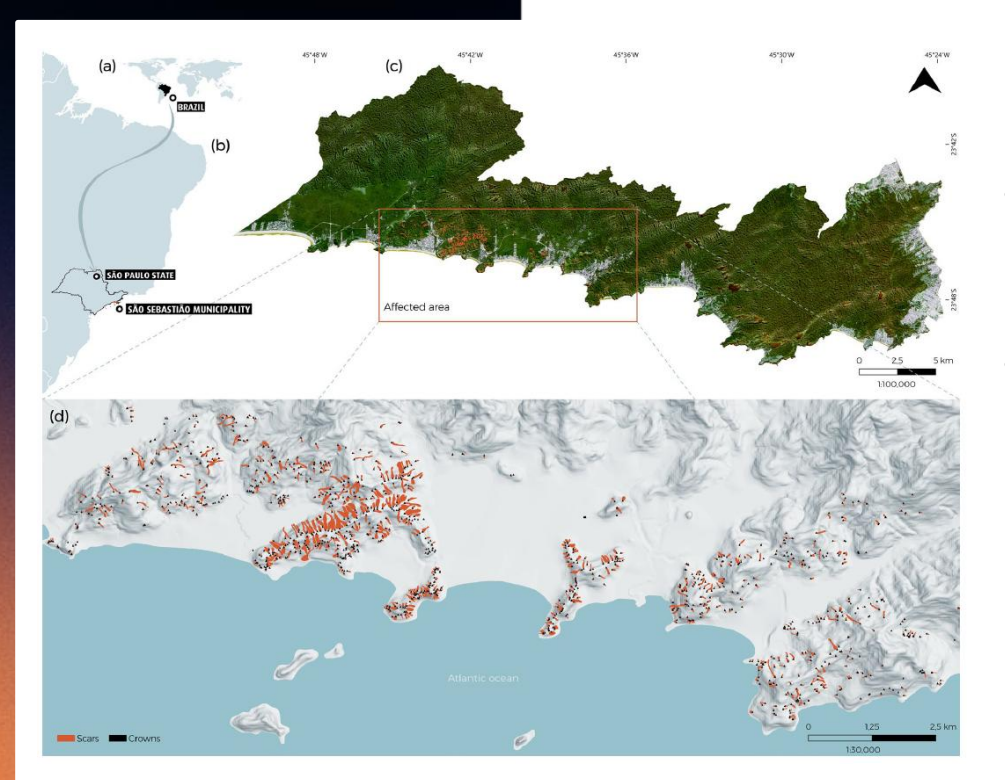
2 Frente fria 3 Ventos quentes

Nuvens com muita água

Cadeia de montanhas

Fonte: Giovanni Dolif - Cemaden





### Mapeamento da suscetibilidade a deslizamentos de terra

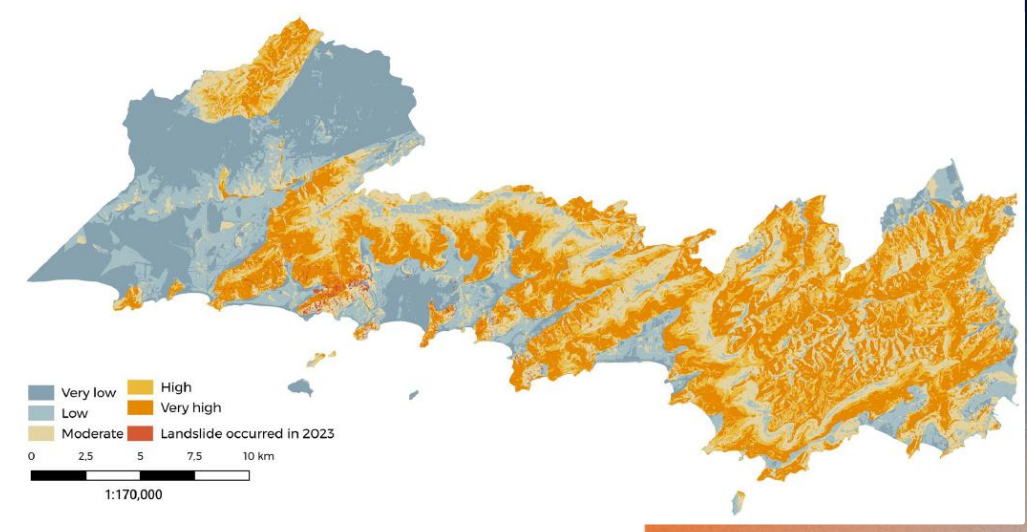
- Existência de um inventário de alta resolução de 97.742 amostras de deslizamentos de terra coletadas durante o evento de São Sebastião em fevereiro de 2023 (Coelho et al, 2024);
- Marques-Carvalho et al. (2024) aplicou modelagem com IA para identificar a distribuição espacial das ocorrências de deslizamentos em São Sebastião (SP)
  - variáveis: declividade, elevação, curvatura do Perfil, posição relativa da declividade, orientação, índice de rugosidade do Terreno, uso e cobertura do Solo, geomorfologia, precipitação, distância aos corpos d'água, litologia, pedologia, entre outras

Marques-Carvalho et al. (2025)





Mapa de suscetibilidade a deslizamentos de terra gerado pelo método proposto



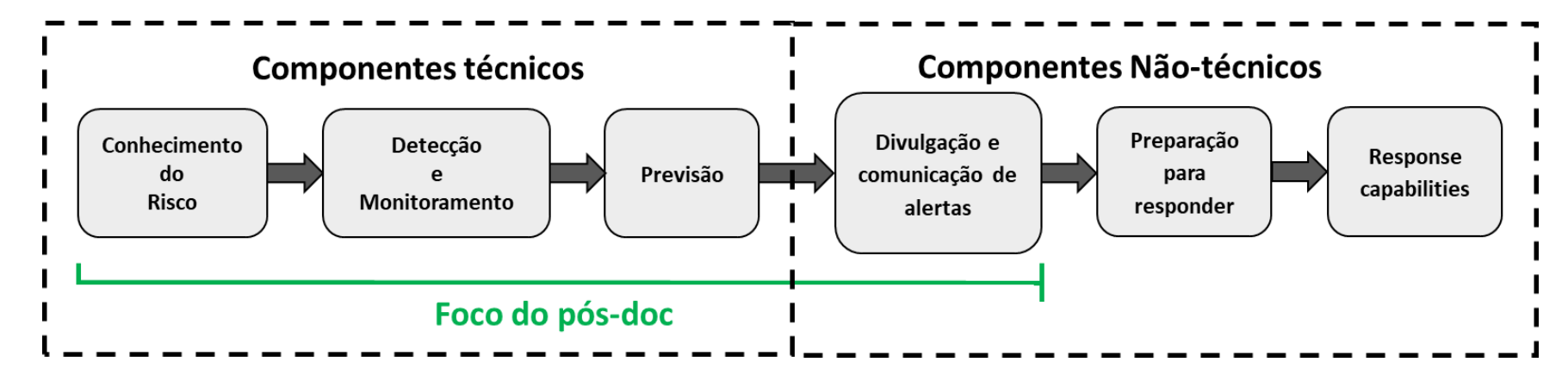
Marques-Carvalho et al. (2025)



# Sistema de Alerta Antecipado de Inundações/Alagamentos Urbanos de Alta Resolução Espacial



#### SISTEMAS DE ALERTA ANTECIPADO



Fonte: UNDRR (2017)

#### **OBJETIVO**

Alto Médio Baixo

- •Desenvolver um protótipo conceitual para um sistema de alerta antecipado de inundações/alagamento de alta resolução (espacial e temporal).
- •Este sistema é projetado рага identificar pontos críticos ou zonas de inundação.

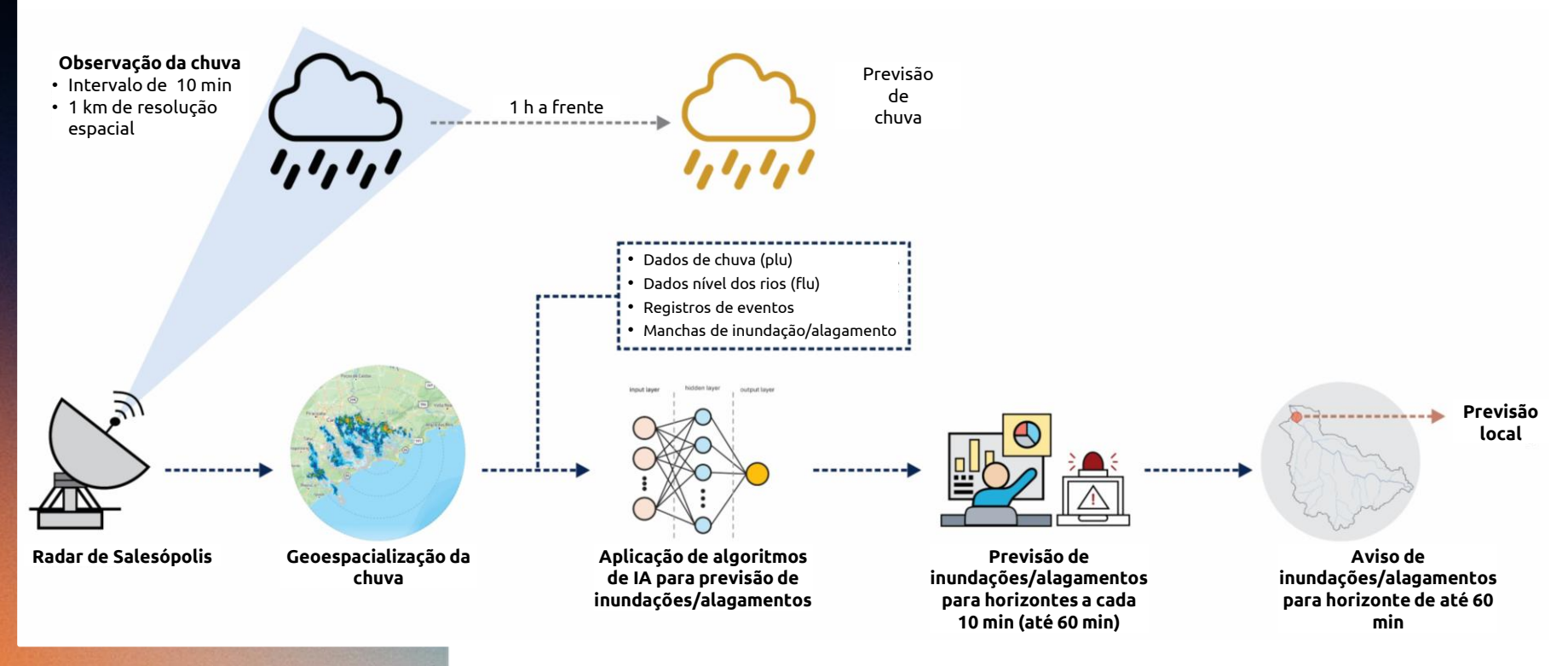


#### Metodologia

#### Acoplamento:

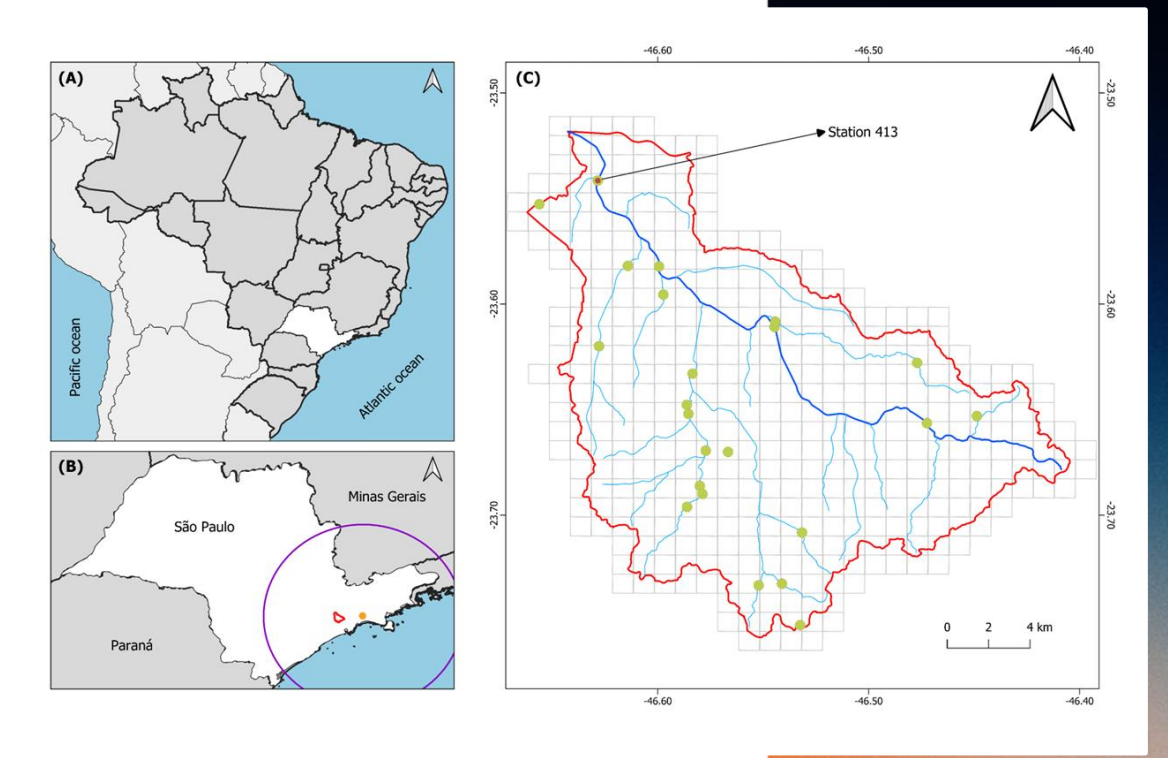
• Aprendizado de máquina, dados plu e flu, registros de eventos e previsão por radar





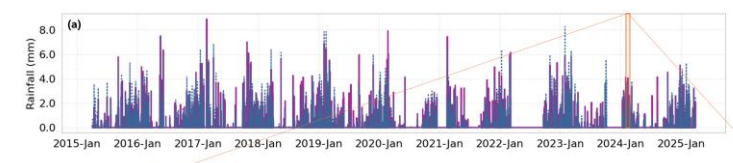


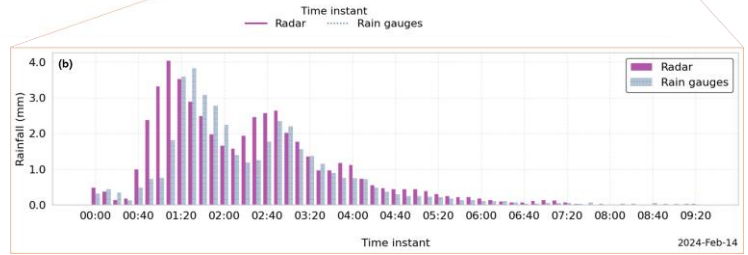
# Trabalhos prontos!

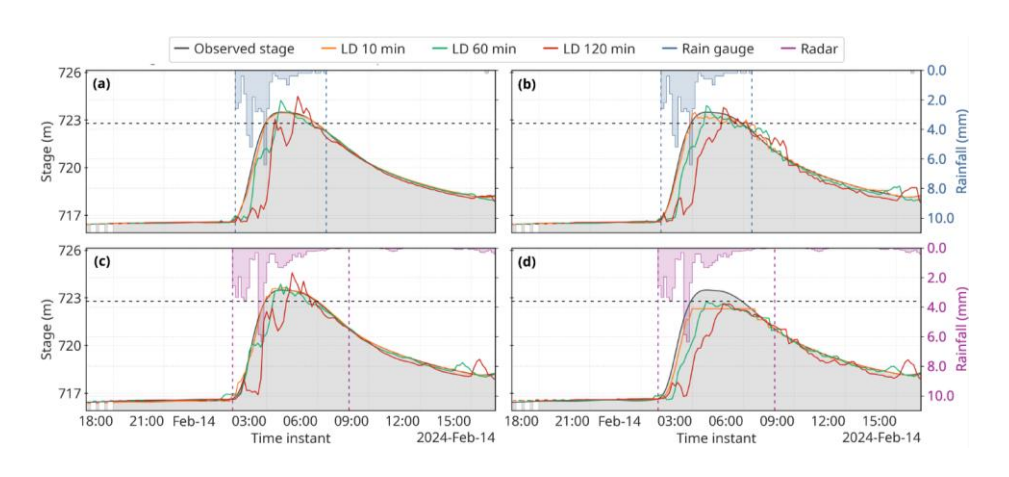


Rocha-Filho et al. (2026)





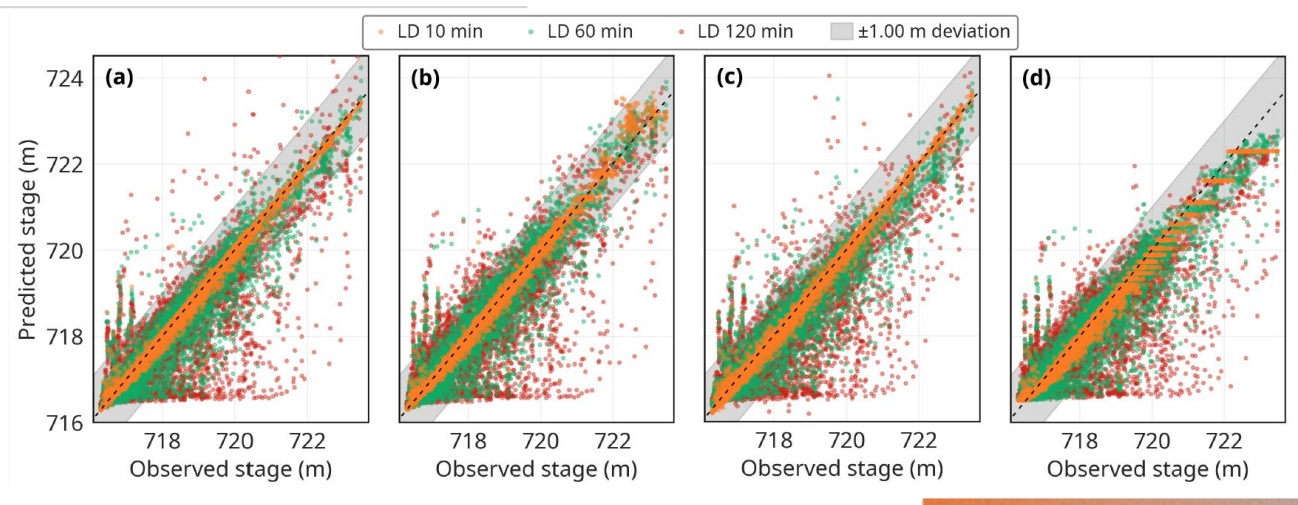




Rocha-Filho et al. (2026)

| Score type           | LinearSVR |        |         |         | XGBRegressor |        |         |         |
|----------------------|-----------|--------|---------|---------|--------------|--------|---------|---------|
|                      | 10 min    | 60 min | 120 min | 240 min | 10 min       | 60 min | 120 min | 240 min |
| NSE – Gauge          | 0.996     | 0.933  | 0.783   | 0.430   | 0.995        | 0.939  | 0.809   | 0.516   |
| NSE – Radar          | 0.992     | 0.926  | 0.788   | 0.351   | 0.990        | 0.921  | 0.781   | 0.479   |
| KGE - Gauge          | 0.990     | 0.934  | 0.830   | 0.533   | 0.990        | 0.961  | 0.857   | 0.573   |
| KGE - Radar          | 0.989     | 0.903  | 0.806   | 0.535   | 0.951        | 0.893  | 0.776   | 0.495   |
| RMSE (m) - Gauge     | 0.070     | 0.279  | 0.500   | 0.811   | 0.080        | 0.266  | 0.469   | 0.747   |
| RMSE (m) – Radar     | 0.094     | 0.291  | 0.494   | 0.865   | 0.105        | 0.301  | 0.503   | 0.775   |
| CPU-time (s) - Gauge | 242       | 108    | 81      | 83      | 2166         | 3128   | 3133    | 3215    |
| CPU-time (s) – Radar | 3895      | 3599   | 3469    | 3711    | 32515        | 32416  | 32373   | 32187   |



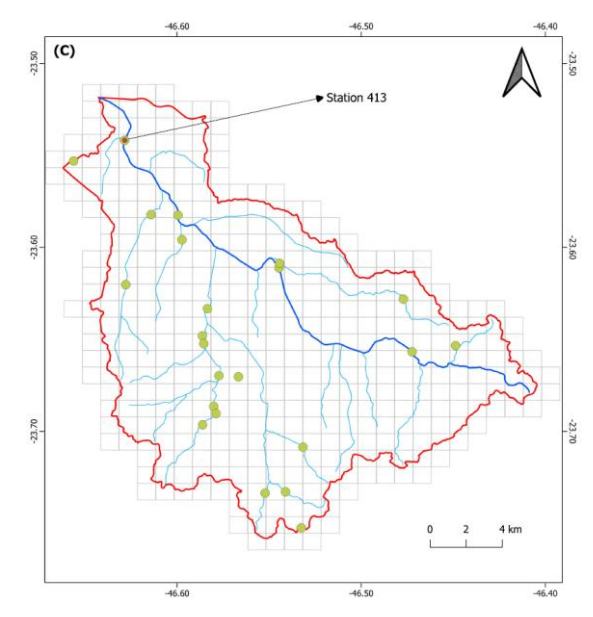


Rocha-Filho et al. (2026)



## Próximos passos

- Rotulagem de eventos;
- Mapa da extensão das inundações com base em registros de inundações/alagamentos;
- Aplicação de nowcasting;
- Alertas locais e pontuais;
- Aberto a colaborações.





## **Obrigado!**

eltescobar@gmail.com | elton.escobar@cemaden.gov.br







